



27-19-AD-MM-216

Aptiense, el Utrillas sobre él.



27-19-AD-MM-217

Aptiense al Sur de Plou.



27-19-AD-MM-218

Nivel de calizas con caráceas intercalado en la serie
detritica del Eocene?-Oligoceno. Discordancia del Mio
ceno superior horizontal al fondo.



27-19-AD-MM-219

El Buntsandstein en el flanco Norte del anticlinal de Montalban.



27-19-AD-MM-220

Paleozoico en primer plano y Buntsandstein en segundo
plano en el mismo sitio que la anterior.



27-19-AD-MM-221

En segundo plano Lias inferior (L); Utrillas (U) Cretáceo superior (CS) y Terciario (T) en discordancia-progresiva.



27-19-AD-MM-222

Eoceno?-Oligoceno al Oeste de Segura de los Baños.



27-19-AD-MM-223

Keuper en la parte baja, Albienense en facies Utrillas
sobre él y Vraconiense-Cenomaniense al techo.



27-19-AD-MM-224

Dolomias y Carniolas del Retiense-Hetangiense sobre el Keuper.



27-19-AD-MM-226

En la parte baja del cerro se ven los yesos miocenos, y sobre ellos estratos de arcillas y conglomerados que representan el paso lateral de las calizas con planorbis que se encuentran unos 2 km. hacia el Sur. Detrás del cerrito de la derecha se encuentra Cutanda.



27-19-AD-MM-227

El mismo frente de cabalgamiento desde otra perspectiva.



27-19-AD-MM-228

Frente de cabalgamiento de las calizas y dolomias del
Cenomaniense-Turoniano sobre el Terciario.



27-19-AD-MM-230

Frente de cabalgamiento de Piedra Helada. El Cenomaniense-Turoniano cabalgando el Eoceno?-Oligoceno.



27-19-AD-MM-231

Terciario en primer plano, donde se ha encajado el valle, y alineación montañosa del Senonien
se, y Daniense al techo.



27-19-AD-MM-232

Detalle de la 234.



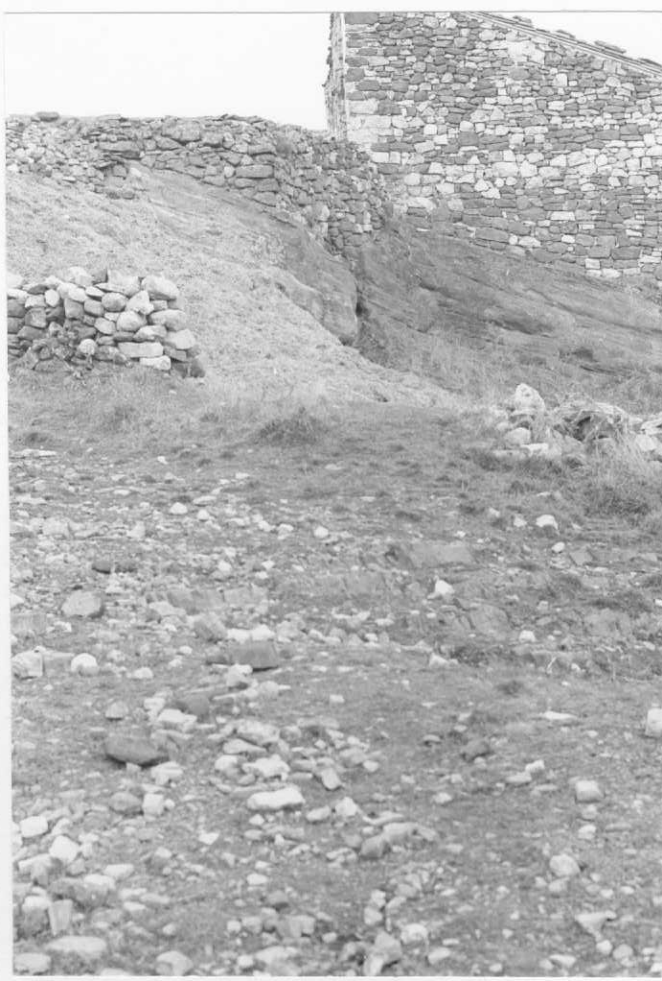
27-19-AD-MM-233

Detalle de orbitolinas en el Aptiense.



27-19-AD-MM-234

Dique de Cuarzo diabasas (izquierda) cortando la estra
tificación de las areniscas y esquistos del carbonífe-
ro (derecha).



27-19-AD-MM-236

Discordancia entre areniscas del carbonífero (primer plano) y Buntsandstein (segundo plano).



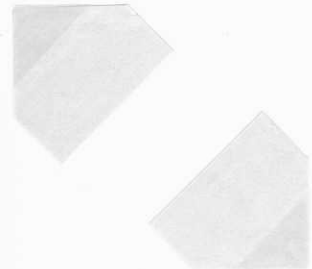
27-19-AD-MM-237

Eoceno?-Oligoceno vertical en Segura de los Baños.



27-19-AD-MM-238

Detalle del Mioceno en la esquina Sur-Oeste de la Hoja.



27-19-AD-MM-239

Muschelkalk medio, de arcillas y yesos de colores abigarrados intercalado entre las calizas dolomíticas del Muschelkalk inferior a la izquierda, y el superior a la derecha.



27-19-AD-MM-240

Detalle de los conglomerados del Bunt.



27-19-AD-MM-241

Detalle de los yesos de la foto 239.



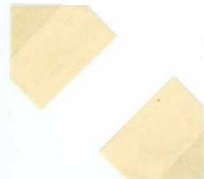
27-19-AD-MM-243

Detalle del Carbonífero replegado.



27-19-AD-MM-244

Contacto mecánico entre paleozoico a la izquierda, y el mioceno de gravas y arcillas rojas a la derecha.



27-19-AD-MM-245

Discordancia angular, en el anticlinal de Cabezo Gordo, entre el Senoniense y Daniense (en primer plano, buzando unos 45° hacia la izquierda) y el Mioceno rojizo (en segundo - plano, buzando 15° hacia la izquierda. Persona situada en el contacto).



27-19-AD-MM-246

Mioceno de colores claros al fondo discordante sobre Eo
ceno?-Oligoceno rojizo tras de los árboles. (Al sur de
Torrecilla del Rebollar).



27-19-AD-MM-247

Detalle de la foto superior del Eoceno?-Oligoceno con fuerte buzamiento.



27-19-AD-MM-248

Mioceno del anticlinal de Cabezo Gordo.



27-19-AD-MM-249

El Muschelkalk en la carretera de Segura de los Baños
a Maicas.



27-19-AD-MM-250

Análoga a la 239.